

せん断変形を考慮した多柱基礎の立体解析

岩手大学工学部 正員 寺本 郁
 同 学生員○荒井英夫
 同 学生員 福島 繁

1. まえがき

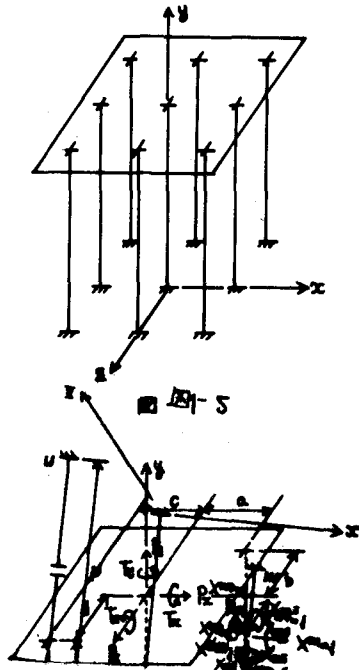
海洋構造物として多柱基礎形式が考えられるが、高次不静定構造でしかも剛体基礎にくらべると、いわゆる柔構造であり設計上剛性が小さくなる傾向があるので安定性や構造耐力について立体解析をしてなければならない。ここでは従来考慮してきたせん断変形をも考慮して立体解析をした。その解析方法として、剛性マトリックスを用いた変形法に依って電子計算を行つてもよいか、電子計算によつては数値解しか得られない。そこで本論文では、応力法に依つて仕事連立方程式を解き、代数式による解式を導いて、この多柱基礎の構造特性を理論式として考察することを試みた。

2. 解析方法

解析する多柱基礎は図-1のようすに9本柱で、柱頭は $EI = \infty$ の板に、下端は地盤に剛結であるものとする。静定基本系として中心柱1本をとり、他の8本の柱にはそれぞれZ, Y, Z方向に力と回転モーメントから成る6箇の不静定力を導入して、各柱に働く不静定力と外力による仕事方程式を導くと(1)式になる。

図-2は第m番目の柱の不静定力Xと外力P, Tの状態を示す。したがつて、(1)式で δ_{11}^{12} とは、第1番目の柱の不静定力 X_{11} と第1番目の柱の不静定力 X_{12} とである仕事である。また δ_{110} とは、第1番目の柱の不静定力 X_{11} と外力Pでなす仕事を意味する。

一般に、第m番目の柱と第n番目の柱との間でなす仕事方程式の係数は表-1のようすになる。さらに、第m番目の柱と外力との間でなす仕事は表-2となる。



$$\left. \begin{aligned} \delta_{11}^{11} X_{11} + \delta_{11}^{12} X_{12} + \delta_{11}^{13} X_{13} + \delta_{11}^{14} X_{14} + \delta_{11}^{15} X_{15} + \delta_{11}^{16} X_{16} + \dots &= -\delta_{110} P - \delta_{110} T \\ \delta_{12}^{11} X_{11} + \delta_{12}^{12} X_{12} + \delta_{12}^{13} X_{13} + \delta_{12}^{14} X_{14} + \delta_{12}^{15} X_{15} + \delta_{12}^{16} X_{16} + \dots &= -\delta_{120} P - \delta_{120} T \\ \vdots & \\ \delta_{21}^{11} X_{11} + \delta_{21}^{12} X_{12} + \delta_{21}^{13} X_{13} + \delta_{21}^{14} X_{14} + \delta_{21}^{15} X_{15} + \delta_{21}^{16} X_{16} + \dots &= -\delta_{210} P - \delta_{210} T \end{aligned} \right\} \quad (1)$$

である。

$$\delta = \int \frac{M_x \bar{M}_x}{EI} dy + \int \frac{M_y \bar{M}_y}{GJ_z} dy + \int \frac{M_z \bar{M}_z}{EI} dy + \int \frac{N \bar{N}}{EA} dy + k \int \frac{Q_x \bar{Q}_x}{GA} dy + k \int \frac{Q_z \bar{Q}_z}{GA} dy$$

である。

表 - 1

	n1	n2	n3	n4	n5	n6
m1	$\frac{bdh}{GJ} + \frac{h^3}{12EI} + \frac{kh^4}{GA}$		$-\frac{bh}{GJ}$		$\frac{bh}{GJ}$	
m2		$\frac{bdb}{EI} + \frac{ach}{EI} + \frac{h^4}{EA}$		$-\frac{bh}{EI}$		$\frac{ah}{EI}$
m3	$-\frac{adh}{GJ}$		$\frac{ach}{GJ} + \frac{h^3}{12EI} + \frac{kh^4}{GA}$		$-\frac{ah}{GJ}$	
m4		$-\frac{dh}{EI}$		$\frac{h^4}{EI}$		
m5	$\frac{dh}{GJ}$		$-\frac{ch}{GJ}$		$\frac{h^4}{GJ}$	
m6		$\frac{ch}{EI}$				$\frac{h^4}{EI}$

ただし m=n のときは * のついた項の h^4 , h を 2 倍する。

表 - 2

	Px	Py	Pz	Tx	Ty	Tz
m10	$-\frac{h^3}{12EI} - \frac{kh}{GA}$				$-\frac{bh}{GJ}$	
m20	$\frac{ah^2}{2EI}$	$-\frac{h}{EA}$	$\frac{bh^2}{2EI}$	$\frac{bh}{EI}$		$-\frac{ah}{EI}$
m30			$-\frac{h^3}{12EI} - \frac{kh}{GA}$		$\frac{ah}{GJ}$	
m40			$-\frac{h^2}{2EI}$	$-\frac{h}{EI}$		
m50					$-\frac{h}{GJ}$	
m60	$\frac{h^2}{2EI}$					$-\frac{h}{EI}$

3. 多柱基礎の構造特性

仕事連立方程式を直接解いて得た代数式による解式を用いて多柱基礎の構造特性を考察する。まず、これによって得られる断面力図を図-3に示す。つぎに、特性を調べるために(2)式で表される K_1 ~ K_7 の係数を導入して、これらの係数の性状を明らかにするとよい。これにつけて講演の機会に発表する。

$$\left. \begin{aligned} K_1 &= \frac{ahu}{2(6a^2u + 9R^2)} \\ K_2 &= \frac{h(6a^2u + 18R^2)}{18(6a^2u + 9R^2)} \\ K_3 &= \frac{au}{(6a^2u + 9R^2)} \\ K_4 &= \frac{h^2}{(6a^2u + 9R^2)} \end{aligned} \right\} \quad \begin{aligned} K_5 &= \frac{12au^2}{(9R^2uW + 144a^2u^2 + 108R^2uV)} \\ K_6 &= \frac{18uW + 12R^2uV}{(9R^2uW + 144a^2u^2 + 108R^2uV)} \\ K_7 &= \frac{12ahrw}{2(9R^2uW + 144a^2u^2 + 108R^2uV)} \end{aligned} \quad (2)$$

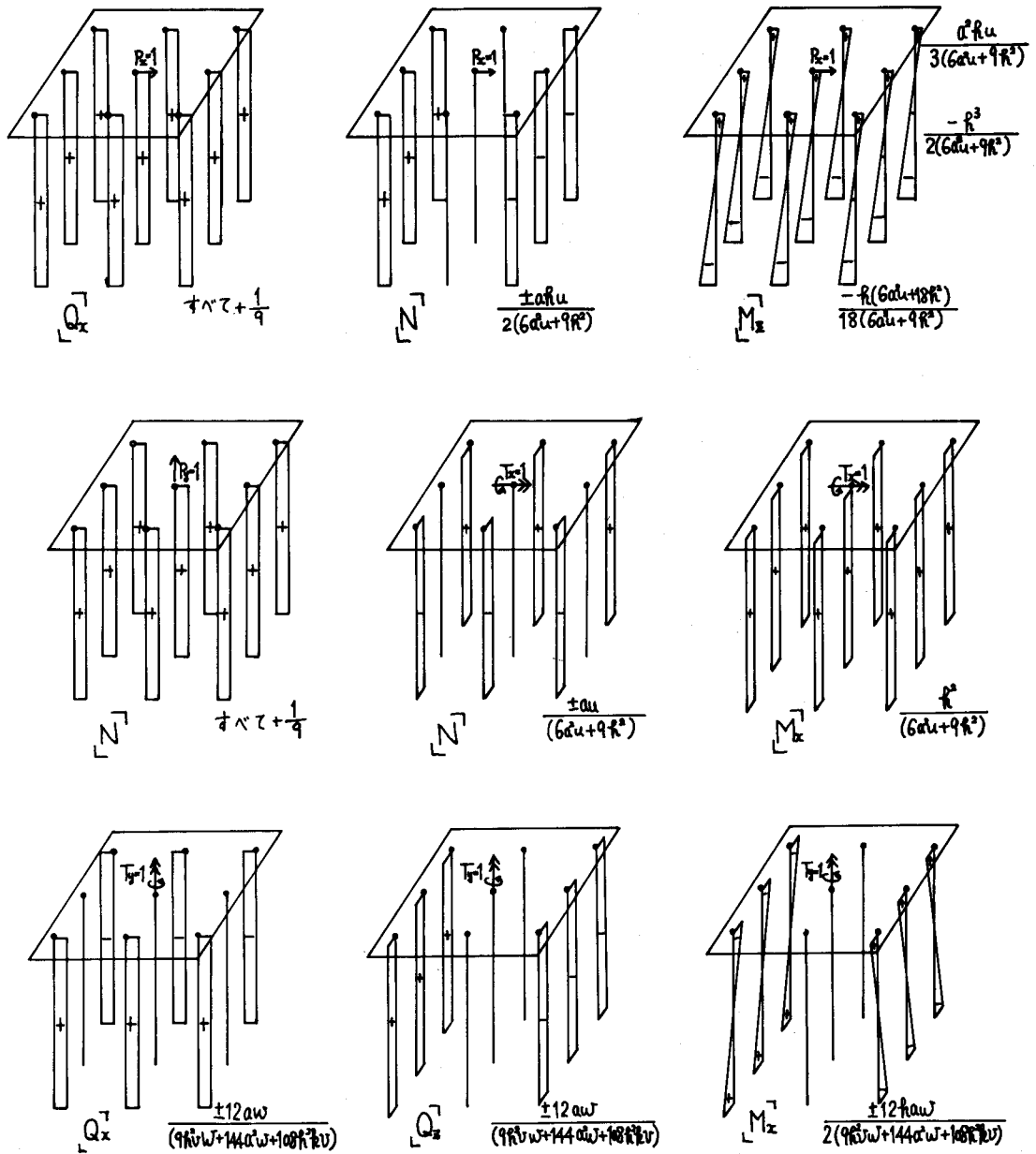


図-3

4. あとがき

以上のように、任意本数の多柱基礎の各柱の応力を求める理論式が得られたので、例えば、本州四国連絡橋の多柱基礎の各柱の応力解析や柱の長さ、太さ等いろいろ変えて場合の多柱基礎の構造特性を検討することができるようになります。終りに、本研究をすすめると際し、北大工学部 濱辺昇教授に非常に感謝の意を述べたいと感謝する。